

УДК 519.6:532.5

МАТЕМАТИЧЕСКОЕ МОДЕЛИРОВАНИЕ ДИНАМИКИ ПЯТЕН В СТРАТИФИЦИРОВАННОЙ СРЕДЕ

© 2020 г. В. А. Гушин^{1,*}, И. А. Смирнова¹

¹ 123056 Москва, ул. 2-я Брестская, 19/18, Институт автоматизации проектирования
Российской академии наук (ИАП РАН), Россия

*e-mail: gushchin47@mail.ru

Поступила в редакцию 16.09.2019 г.
Переработанный вариант 16.09.2019 г.
Принята к публикации 14.01.2020 г.

Изучение динамики пятен перемешанной жидкости в стратифицированной окружающей среде представляет интерес как для исследования тонкой структуры океана, так и для исследования динамики следа за движущимся подводным объектом. Работа посвящена построению физической и математической модели для этой задачи. В качестве стратифицирующего компонента выбрана солёность. Эта модель описывается уравнениями Навье–Стокса в приближении Буссинеска. Для решения поставленной задачи используется одна из последних версий разработанного авторами метода расщепления по физическим факторам, конечно-разностная схема которого обладает такими свойствами, как высокий порядок аппроксимации, минимальная схемная вязкость и дисперсия, и, что особенно важно при решении задач с большими градиентами гидрофизических параметров, задач со свободной поверхностью и внутренними волнами свойством монотонности. Проведены многочисленные тестовые и методические расчёты по изучению влияния сеточных параметров на результаты. Приведены результаты сравнения с аналитическими оценками, экспериментальными данными и расчётами других авторов. В качестве примера показана динамика возмущения солёности, что соответствует линиям равной фазы, характеризующим поведение внутренних волн в процессе коллапса пятен. Библ. 19. Фиг. 10.

Ключевые слова: несжимаемая вязкая жидкость, стратификация, солёность, приближение Буссинеска, коллапс пятен, метод расщепления.

DOI: 10.31857/S0044466920050087

1. ВВЕДЕНИЕ

Изучение различного рода явлений и процессов, наблюдаемых в таких неоднородных средах, как атмосфера и океан, представляет как научный, так и практический интерес. Неоднородность этих сред связана с эффектами плавучести – наличием силы тяжести. Плотность среды меняется по вертикали. Известно, что плотность среды зависит от температуры, давления и солёности (для морской и океанических сред). Мгновенное распределение гидрофизических параметров (плотности, температуры, солёности) по глубине никогда не бывает гладким, а носит ступенчатый характер: участки, где гидродинамические характеристики постоянны, сменяются участками с большими их градиентами. Это связано с тем, что в турбулентном потоке с сильно устойчивой стратификацией турбулентность распространена не повсеместно, а пятнами. Неоднородный и сильно анизотропный характер турбулентности в условиях сильной устойчивой стратификации был предсказан А.Н. Колмогоровым ещё в конце 40-х годов. На существование блинообразных пятен турбулентности в океане было указано в [1].

Пятна перемешанной жидкости – это следствие взаимодействия внутренних волн, которые при определенных условиях могут опрокидываться. Другая интерпретация – это срез поперечного сечения следа за движущимся в стратифицированной среде подводным объектом. Турбулентность сосредоточена в блинообразных слоях – пятнах, простирающихся в горизонтальном направлении на расстояния, значительно превышающие их вертикальные размеры [2]–[5]. Эти блинообразные пятна оказываются резко ограниченными и долго живущими. Поэтому возникновение и развитие пятен перемешанной жидкости в стратифицированной среде представляет

существенный интерес в связи с изучением тонкой структуры океана, а также исследованием динамики следа за движущимся подводным объектом.

Пятна эволюционируют, постепенно сплющиваясь и внедряясь в окружающую среду языками — интрузиями. Перемешанность жидкости в пятне создает в нем избыточное по сравнению с окружающей средой давление, которое и порождает движущую силу интрузии. Под влиянием этой силы происходит расплывание (коллапс) пятна.

Эта задача исследовалась аналитически [6], [7], изучалась в лабораторных условиях [8]–[10], а с появлением приемлемых вычислительных машин стала объектом и математического моделирования [11]–[15].

В настоящее время известен целый ряд численных методов, разработанных для исследования течений неоднородной вязкой жидкости, например [11]–[14].

Некоторые из них исторически основаны на решении уравнений Навье–Стокса в форме Гельмгольца (в переменных вихрь — функция тока) [11], что ограничивает область их применимости случаем двумерных течений. В последние годы все большее внимание уделяется разработке численных методов решения уравнений Навье–Стокса в переменных вектор скорости — давление [12]–[14]. Во всех работах, кроме [11], [13], принимается приближение Буссинеска, согласно которому изменение плотности жидкости учитывается лишь в силах плавучести. В [11] исследования проводятся для идеальной жидкости, а в [13] рассматривается только случай слабой стратификации.

За прошедшие 40 лет с момента выхода нашей работы [14] в области математического моделирования подобных течений естественно произошло много изменений. Предложены новые физические и математические модели [16], [17]. Существенно повысилось качество методов решения поставленных задач [18], [19]. Ну и, конечно же, прогресс в развитии вычислительной технике потрясающий.

В данной работе нам хотелось бы адаптировать математическую модель [16], использованную нами ранее в задачах обтекания сферы и кругового цилиндра стратифицированной жидкостью [16], [17], к задаче о коллапсе (схлопывании) пятен, которую мы решали ранее без учета диффузии стратифицирующего компонента [14], [15].

Метод также может быть обобщен на случай турбулентных течений.

2. МАТЕМАТИЧЕСКАЯ МОДЕЛЬ. ПОСТАНОВКА ЗАДАЧИ

Согласно модели, предложенной в [7], возникновение и развитие турбулентности в устойчиво стратифицированной по плотности жидкости неотделимо от внутренних волн и происходит следующим образом. Под действием внешних сил в стратифицированной жидкости возникают внутренние волны большого масштаба. В результате их нелинейного взаимодействия и последующего опрокидывания или потери устойчивости возникают области перемешанной жидкости — пятна (иногда их называют зонами смешения). Эти пятна перемешанной турбулизованной жидкости эволюционируют, постепенно сплющиваясь (схлопывание, или коллапс, турбулентных пятен), что, в свою очередь, приводит к образованию новых пятен, и т. д.

В процессе эволюции пятна естественно рассматривать три ее основные стадии [7], [9].

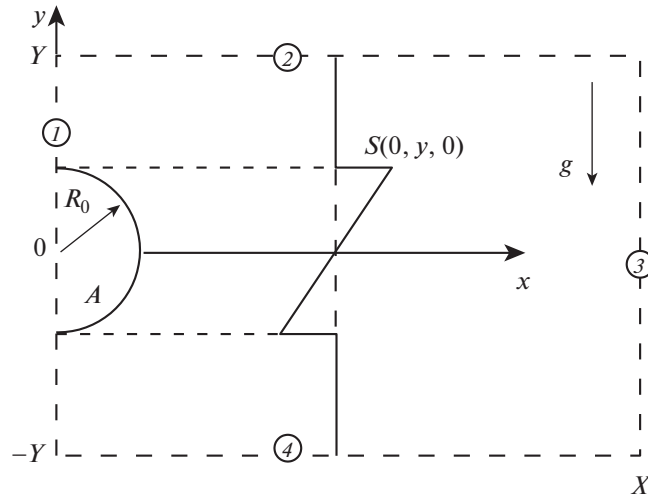
I. Начальная стадия. Движущая сила, действующая на частицы жидкости, находящиеся внутри пятна, значительно превосходит силы сопротивления; происходит интенсивное порождение пятном внутренних волн.

II. Промежуточная стационарная стадия. Движущая сила уравновешивается в основном сопротивлением формы и волновым сопротивлением, обусловленным излучением внутренних волн; увеличение горизонтального размера пятна в зависимости от времени происходит почти по линейному закону, т.е. ускорение пренебрежимо мало.

III. Заключительная вязкая стадия. Движущая сила уравновешивается в основном вязким сопротивлением; горизонтальный размер пятна меняется слабо.

Стадии I и II непродолжительны и, по оценкам в [6], [9], [12], завершаются через промежуток времени, приблизительно равный $4T_b$, где $T_b = 2\pi/N$ — период, а N — частота Брента–Вяйсяля. Причем продолжительность стадии I не превосходит $T_b/2$. В основном же наблюдаемые пятна турбулентности находятся на заключительной III стадии эволюции.

Далее в результате диффузии пятно смешивается с окружающей жидкостью и исчезает.



Фиг. 1. Постановка задачи о коллапсе пятна. Начальные условия для возмущения солености.

Рассмотрим плоскую нестационарную задачу о течении, возникающем при коллапсе (схлопывании по вертикали) области однородной жидкости A , окруженной устойчиво и непрерывно стратифицированной по плотности (для определенности – по линейному закону) жидкостью (фиг. 1).

Течение развивается в однородном поле силы тяжести с ускорением свободного падения \mathbf{g} . Невозмущенное линейное распределение плотности [16]:

$$\rho(x, y) = \rho_0 \left(1 - \frac{y}{\Lambda} + s(x, y) \right)$$

характеризуется масштабом стратификации

$$\Lambda = \left| \frac{1}{\rho_0} \left(\frac{\partial \rho}{\partial y} \right) \right|^{-1},$$

частотой плавучести $N = \sqrt{g/\Lambda}$ и периодом плавучести $T_b = 2\pi/N$; $C = \Lambda/R_0$ – отношение масштабов, R_0 – радиус пятна, s – возмущение солености (стратифицирующего компонента), включающее коэффициент солевого сжатия.

Уравнения Навье–Стокса, описывающие течения такого типа, можно записать в виде

$$\begin{aligned} \rho \left(\frac{\partial \mathbf{v}}{\partial t} + (\mathbf{v} \cdot \nabla) \mathbf{v} \right) &= -\nabla p + \mu \Delta \mathbf{v} + \mathbf{g}, \\ \frac{\partial s}{\partial t} + \mathbf{v} \cdot \nabla s &= k_s \Delta s + \frac{v}{\Lambda}, \\ \nabla \cdot \mathbf{v} &= 0, \end{aligned} \tag{2.1}$$

где \mathbf{v} – вектор скорости с составляющими u, v соответственно вдоль осей x и y декартовой системы координат, выбранной так, как указано на фиг. 1, ρ – плотность, p – давление, s – возмущение солености, k_s – коэффициент диффузии соли, μ – коэффициент динамической вязкости, $\mathbf{g} = (0, -g)$, g – ускорение свободного падения. В рассматриваемой задаче предполагается, что $\mu = \text{const}$.

Будем считать, что в начальный момент времени $t = 0$ система на плоскости \mathbf{R}^2 находится в покое, т.е.

$$u = v = 0, \tag{2.2}$$

плотность жидкости в пятне A постоянна и

$$\rho = \rho_0, \tag{2.3}$$

а вне пятна, т.е. в области $\mathbf{R}^2 \setminus A$, имеем

$$\rho = \rho_0 (1 + ay + s), \quad a = \frac{1}{\rho_0} \left(\frac{\partial \rho}{\partial y} \right)_0 < 0. \quad (2.4a)$$

Для возмущения солености имеем

$$s = \begin{cases} \frac{y}{\Lambda}, & (x, y) \in A, \\ 0, & (x, y) \in \mathbf{R}^2 \setminus A. \end{cases} \quad (2.4b)$$

В качестве начального приближения, необходимого при решении уравнения для давления, выбирается распределение

$$p = \begin{cases} -\rho_0 g y, & (x, y) \in A, \\ -\rho_0 g \left(y - \frac{a}{2} y^2 \right), & (x, y) \in \mathbf{R}^2 \setminus A. \end{cases} \quad (2.5)$$

Поскольку давление в случае несжимаемой жидкости определяется с точностью до произвольной постоянной, не ограничивая общности, можно его выбрать равным нулю на уровне $y = 0$.

В силу симметрии задачи относительно плоскости $x = 0$, естественно искать решение только в одной полуплоскости, например при $x \geq 0$. Симметрия относительно оси x не предполагается. Решение задачи будем искать в прямоугольной области $\{x, y: 0 \leq x \leq X, -Y \leq y \leq Y\}$. На левой границе (линия 1 на фиг. 1) этой области ставятся условия симметрии течения

$$u = 0, \quad \frac{\partial v}{\partial x} = \frac{\partial p}{\partial x} = \frac{\partial \rho}{\partial x} = \frac{\partial s}{\partial x} = 0. \quad (2.6)$$

Верхняя (линия 2), нижняя (линия 4) и правая (линия 3) границы должны быть выбраны на достаточно большом расстоянии от источника возмущений (от пятна) так, чтобы постановка каких-либо граничных условий на этих границах, необходимых для решения задачи, не оказывала существенного влияния на картину течения.

Выбирая в качестве характерного линейного размера радиус пятна R_0 в момент времени $t = 0$, характерной плотности – плотность ρ_0 в пятне в начальный момент времени, характерного времени N^{-1} , где $N = (-ag)^{0.5}$, перейдем к безразмерным переменным

$$\tilde{f} = (\tilde{x}, \tilde{y}, \tilde{t}, \tilde{u}, \tilde{v}, \tilde{p}, \tilde{\rho}), \quad x = \tilde{x}R_0, \quad y = \tilde{y}R_0, \quad t = \tilde{t}/N, \quad u = \tilde{u}R_0N,$$

где

$$v = \tilde{v}R_0N, \quad p = \tilde{p}\rho_0R_0^2N^2, \quad \rho = \tilde{\rho}\rho_0.$$

Будем также считать, что p – давление за вычетом гидростатического. Тогда уравнения (2.1), начальные (2.2)–(2.5) и граничные (2.6) условия примут в безразмерных переменных в приближении Буссинеска следующий вид (тильда опущена):

$$\begin{aligned} \frac{\partial \mathbf{v}}{\partial t} + (\mathbf{v} \cdot \nabla) \mathbf{v} &= -\nabla p + \frac{1}{\text{Re}} \Delta \mathbf{v} + \frac{1}{\text{Fr}} s \frac{\mathbf{g}}{g}, \\ \frac{\partial s}{\partial t} + (\mathbf{v} \cdot \nabla) s &= \frac{1}{\text{Sc} \cdot \text{Re}} \Delta s + \frac{\mathbf{v}}{C}, \\ \nabla \cdot \mathbf{v} &= 0, \end{aligned} \quad (2.7)$$

$$u = v = 0, \quad (x, y) \in \mathbf{R}^2, \quad (2.8)$$

$$\rho = 1, \quad (x, y) \in A, \quad (2.9)$$

$$\rho = 1 - \frac{y}{C} + s, \quad (x, y) \in \mathbf{R}^2 \setminus A, \quad (2.10a)$$

$$s = \begin{cases} \frac{y}{C}, & (x, y) \in A, \\ 0, & (x, y) \in \mathbf{R}^2 \setminus A, \end{cases} \quad (2.10b)$$

$$u = 0, \quad \frac{\partial v}{\partial x} = \frac{\partial p}{\partial x} = \frac{\partial \rho}{\partial x} = \frac{\partial s}{\partial x} = 0, \quad x = 0, \quad (2.11)$$

где число Рейнольдса $Re = \rho_0 R_0^2 N / \mu$, число Фруда $Fr = R_0 N^2 / g$, число Шмидта $Sc = \mu / \rho_0 k_s$, k_s – коэффициент диффузии соли, $C = \Lambda / R_0$ – отношение масштабов.

3. МЕТОД РЕШЕНИЯ

Для решения поставленной задачи будет использована одна из последних версий Метода расщепления по физическим факторам для исследования течений Несжимаемой жидкости (МЕРАНЖ). Конечно-разностная схема этого метода обладает такими свойствами, как второй порядок аппроксимации по пространственным переменным, минимальная схемная вязкость и дисперсия, работоспособная в широком диапазоне чисел Рейнольдса и Фруда и, что особенно важно при решении подобных задач, монотонность [19].

Схема расщепления. Пусть в некоторый момент времени $t_n = n\tau$, где τ – величина шага по времени, n – число шагов, известны поля скорости \mathbf{v} , давления p и возмущения солёности s . Тогда схему нахождения неизвестных функций в момент времени $t_{n+1} = (n+1) \cdot \tau$ можно представить в следующем виде:

$$\frac{\tilde{\mathbf{v}} - \mathbf{v}^n}{\tau} = -(\mathbf{v}^n \cdot \nabla) \mathbf{v}^n + \frac{1}{Re} \Delta \mathbf{v}^n + \frac{1}{Fr} s^n \frac{\mathbf{g}}{g}, \quad (3.1)$$

$$\tau \Delta p = \nabla \cdot \tilde{\mathbf{v}}, \quad (3.2)$$

$$\frac{\mathbf{v}^{n+1} - \tilde{\mathbf{v}}}{\tau} = -\nabla p, \quad (3.3)$$

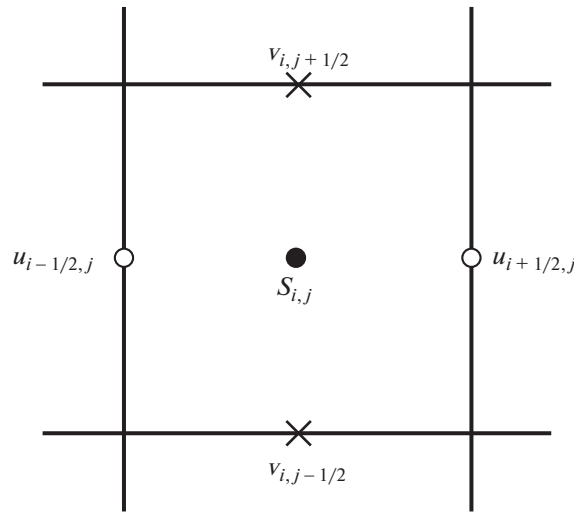
$$\frac{s^{n+1} - s^n}{\tau} = -(\mathbf{v}^{n+1} \cdot \nabla) s^n + \frac{1}{Sc \cdot Re} \Delta s^n + \frac{v^{n+1}}{C}. \quad (3.4)$$

На I этапе (3.1) предполагается, что перенос количества движения (импульса единицы массы) осуществляется только за счет конвекции, диффузии и сил плавучести. На II этапе (3.2) по найденному промежуточному полю скорости $\tilde{\mathbf{v}}$ с учетом условия солёноидальности вектора скорости \mathbf{v}^{n+1} из решения уравнения Пуассона находится поле давления. На III этапе (3.3) предполагается, что перенос осуществляется только за счет градиента давления (конвекция и диффузия отсутствуют). На IV этапе (3.4) по найденному полю скорости \mathbf{v}^{n+1} рассчитывается поле возмущения солёности.

Конечно-разностная схема. Исследуемая область течения покрывается равномерной по x и y сеткой ячеек:

$$\Omega = \begin{cases} x_{i+1/2} = ih_x, & h_x > 0, & i = 0, 1, \dots, L; & Lh_x = X, \\ y_{j+1/2} = jh_y, & h_y > 0, & j = 0, 1, \dots, M; & Mh_y = 2Y, \end{cases}$$

где h_x, h_y – размеры шагов сетки, а L и M – число ячеек сетки в направлении x и y соответственно (точка с координатами (i, j) совпадает с центром ячейки). Здесь, как и в исходном методе расщепления, используется “шахматная” сетка, т.е. координаты сеточных функций разнесены в пространстве, как это показано на фиг. 2. Это дает возможность наглядно интерпретировать каждую ячейку как элемент объема среды, который характеризуется рассчитываемыми в его центре давлением p_{ij} , плотностью ρ_{ij} , возмущением солёности s_{ij} (возможно, температурой, энергией и т.п.), а также дивергенцией D_{ij} (D в зависимости от знака определяет наличие источника или стока в данном объеме). Знание же нормальной составляющей вектора скорости на стороне ячейки позволяет непосредственно вычислять поток количества движения через эту сторону.



Фиг. 2. Сеточный шаблон.

Для случая декартовой системы координат и равномерной сетки (фиг. 2) двумерная разностная схема имеет вид

$$\begin{aligned} \frac{\tilde{u}_{i+1/2,j} - u_{i+1/2,j}^n}{\tau} &= \frac{(u_{i,j}^n)^2 - (u_{i+1,j}^n)^2}{h_x} + \frac{(uv)_{i+1/2,j-1/2}^n - (uv)_{i+1/2,j+1/2}^n}{h_y} - \\ &- \frac{1}{\text{Re} \cdot h_y} \left[\left(\frac{v_{i+1,j+1/2}^n - v_{i,j+1/2}^n}{h_x} - \frac{u_{i+1/2,j+1}^n - u_{i+1/2,j}^n}{h_y} \right) - \right. \\ &\left. - \left(\frac{v_{i+1,j-1/2}^n - v_{i,j-1/2}^n}{h_x} - \frac{u_{i+1/2,j}^n - u_{i+1/2,j-1}^n}{h_y} \right) \right], \end{aligned} \quad (3.5)$$

$$\begin{aligned} \frac{\tilde{v}_{i,j+1/2} - v_{i,j+1/2}^n}{\tau} &= \frac{(v_{i,j}^n)^2 - (v_{i,j+1}^n)^2}{h_y} + \frac{(uv)_{i-1/2,j+1/2}^n - (uv)_{i+1/2,j+1/2}^n}{h_x} + \\ &+ \frac{1}{\text{Re} \cdot h_x} \left[\left(\frac{v_{i+1,j+1/2}^n - v_{i,j+1/2}^n}{h_x} - \frac{u_{i+1/2,j+1}^n - u_{i+1/2,j}^n}{h_y} \right) - \right. \\ &\left. - \left(\frac{v_{i,j+1/2}^n - v_{i-1,j+1/2}^n}{h_x} - \frac{u_{i-1/2,j+1}^n - u_{i-1/2,j}^n}{h_y} \right) \right] - \frac{1}{\text{Fr}} S_{i,j}^n, \end{aligned} \quad (3.6)$$

$$\frac{p_{i+1,j} - 2p_{i,j} + p_{i-1,j}}{h_x^2} + \frac{p_{i,j+1} - 2p_{i,j} + p_{i,j-1}}{h_y^2} = \frac{\tilde{D}_{i,j}}{\tau}, \quad (3.7)$$

$$u_{i+1/2,j}^{n+1} = \tilde{u}_{i+1/2,j} - \frac{\tau}{h_x} (p_{i+1,j} - p_{i,j}), \quad (3.8)$$

$$v_{i,j+1/2}^{n+1} = \tilde{v}_{i,j+1/2} - \frac{\tau}{h_y} (p_{i,j+1} - p_{i,j}),$$

$$\begin{aligned} \frac{S_{i,j}^{n+1} - S_{i,j}^n}{\tau} &= - \frac{u_{i+1/2,j}^{n+1} S_{i+1/2,j}^n - u_{i-1/2,j}^{n+1} S_{i-1/2,j}^n}{h_x} - \frac{v_{i,j+1/2}^{n+1} S_{i,j+1/2}^n - v_{i,j-1/2}^{n+1} S_{i,j-1/2}^n}{h_y} + \\ &+ \frac{1}{\text{Sc} \cdot \text{Re}} \left(\frac{S_{i+1,j}^n - 2S_{i,j}^n + S_{i-1,j}^n}{h_x^2} - \frac{S_{i,j+1}^n - 2S_{i,j}^n + S_{i,j-1}^n}{h_y^2} \right) + \frac{V_{i,j}^{n+1}}{C}, \end{aligned} \quad (3.9)$$

где u, v – составляющие вектора скорости вдоль осей OX и OY .

При вычислении составляющей вектора скорости $\tilde{u}_{i+1/2,j}$ записывается закон сохранения импульса для импровизированной ячейки с центром в точке $(i + 1, j)$ (см. фиг. 2). Для первых двух членов в правой части уравнения (3.5) имеем

$$\frac{(u_{i+1,j}^n)^2 - (u_{i,j}^n)^2}{h_x} = \frac{DU3 - DU1}{h_x}, \tag{3.10}$$

$$\frac{(uv)_{i+1/2,j+1/2}^n - (uv)_{i+1/2,j-1/2}^n}{h_y} = \frac{DU4 - DU2}{h_y}. \tag{3.11}$$

Рассмотрим поток $DU3$ через правую сторону этой ячейки

$$DU3 = u_{i+1,j}^n \bullet \langle u_{i+1,j}^n \rangle, \tag{3.12}$$

где

$$u_{i+1,j}^n = 0.5(u_{i+3/2,j}^n + u_{i+1/2,j}^n)$$

есть скорость переноса субстанции $\langle u_{i+1,j}^n \rangle$.

Пусть

$$\begin{aligned} \Delta_x u_{i+1,j}^n &= u_{i+3/2,j}^n - u_{i+1/2,j}^n, \\ \Delta_x^2 u_{i+1,j}^n &= \Delta_x u_{i+3/2,j}^n - \Delta_x u_{i+1/2,j}^n = 0.5(u_{i+5/2,j}^n - u_{i+3/2,j}^n - u_{i+1/2,j}^n + u_{i-1/2,j}^n), \\ c_{i+1,j}^u &= \tau |u_{i+1,j}^n| / h_x. \end{aligned} \tag{3.13}$$

Тогда, если

$$(u \bullet \Delta_x u \bullet \Delta_x^2 u)_{i+1,j}^n \geq 0,$$

то используется модифицированная схема с ориентированными разностями – МОР

$$\langle u_{i+1,j}^n \rangle = \begin{cases} 0.5(3 - c_{i+1,j}^u)u_{i+1/2,j}^n - 0.5(1 - c_{i+1,j}^u)u_{i-1/2,j}^n, & u_{i+1,j}^n \geq 0; \\ 0.5(3 - c_{i+1,j}^u)u_{i+3/2,j}^n - 0.5(1 - c_{i+1,j}^u)u_{i+5/2,j}^n, & u_{i+1,j}^n < 0. \end{cases} \tag{3.14}$$

В противном случае, если

$$(u \bullet \Delta_x u \bullet \Delta_x^2 u)_{i+1,j}^n < 0,$$

используется модифицированная схема с центральными разностями – МЦР

$$\langle u_{i+1,j}^n \rangle = 0.5 \left(1 - \frac{\tau u_{i+1,j}^n}{h_x} \right) u_{i+3/2,j}^n + 0.5 \left(1 + \frac{\tau u_{i+1,j}^n}{h_x} \right) u_{i+1/2,j}^n. \tag{3.15}$$

Поток $DU1$ через левую сторону ячейки вычисляется аналогично потоку $DU3$, но в уравнениях (3.12)–(3.15) необходимо индекс i уменьшить на единицу.

Для потоков DU (3.11) в уравнении (3.5) через горизонтальные стороны ячейки имеем

$$DU4 = v_{i+1/2,j+1/2}^n \bullet \langle u_{i+1/2,j+1/2}^n \rangle, \tag{3.16}$$

где

$$v_{i+1/2,j+1/2}^n = 0.5(v_{i+1,j+1/2}^n + v_{i,j+1/2}^n).$$

С учетом обозначений

$$\begin{aligned} \Delta_y u_{i+1/2,j+1/2}^n &= u_{i+1/2,j+1}^n - u_{i+1/2,j}^n, \\ \Delta_y^2 u_{i+1/2,j+1/2}^n &= 0.5(u_{i+1/2,j+2}^n - u_{i+1/2,j+1}^n - u_{i+1/2,j}^n + u_{i+1/2,j-1}^n), \\ c_{i+1/2,j+1/2}^v &= \tau |v_{i+1/2,j+1/2}^n| / h_y. \end{aligned} \tag{3.17}$$

Тогда, если

$$(v \bullet \Delta_y u \bullet \Delta_y^2 u)_{i+1/2, j+1/2}^n \geq 0,$$

используется схема МОР

$$\langle u_{i+1/2, j+1/2}^n \rangle = \begin{cases} 0.5(3 - c_{i+1/2, j+1/2}^v) u_{i+1/2, j}^n - 0.5(1 - c_{i+1/2, j+1/2}^v) u_{i+1/2, j-1}^n, & v_{i+1/2, j+1/2}^n \geq 0, \\ 0.5(3 - c_{i+1/2, j+1/2}^v) u_{i+1/2, j+1}^n - 0.5(1 - c_{i+1/2, j+1/2}^v) u_{i+1/2, j+2}^n, & v_{i+1/2, j+1/2}^n < 0, \end{cases} \quad (3.18)$$

а в противном случае, если

$$(v \bullet \Delta_y u \bullet \Delta_y^2 u)_{i+1/2, j+1/2}^n < 0,$$

используется схема МЦР

$$\langle u_{i+1/2, j+1/2}^n \rangle = 0.5 \left(1 - \frac{\tau v_{i+1/2, j+1/2}^n}{h_y} \right) u_{i+1/2, j+1}^n + 0.5 \left(1 + \frac{\tau v_{i+1/2, j+1/2}^n}{h_y} \right) u_{i+1/2, j}^n. \quad (3.19)$$

Поток $DU2$ через нижнюю сторону ячейки вычисляется аналогично $DU4$, но в уравнениях (3.16)–(3.19) необходимо индекс j уменьшить на единицу. Оставшиеся производные, входящие в правую часть уравнения (3.5) и соответствующие вязким членам, аппроксимируются центральными разностями.

При вычислении составляющей вектора скорости $\tilde{v}_{i, j+1/2}$ записывается закон сохранения импульса для вспомогательной ячейки с центром в точке $(i, j + 1/2)$ (см. фиг. 2). Для первых двух членов в правой части уравнения (3.6) имеем

$$\frac{(uv)_{i+1/2, j+1/2}^n - (uv)_{i-1/2, j+1/2}^n}{h_x} = \frac{DV3 - DV1}{h_x}, \quad (3.20)$$

$$\frac{(v_{i, j+1}^n)^2 - (v_{i, j}^n)^2}{h_y} = \frac{DV4 - DV2}{h_y}. \quad (3.21)$$

Рассмотрим поток $DV3$ через правую сторону этой ячейки

$$DV3 = u_{i+1/2, j+1/2}^n \bullet \langle v_{i+1/2, j+1/2}^n \rangle, \quad (3.22)$$

где

$$u_{i+1/2, j+1/2}^n = 0.5(u_{i+1/2, j+1}^n + u_{i+1/2, j}^n)$$

есть скорость переноса субстанции $\langle v_{i+1/2, j+1/2}^n \rangle$. Пусть

$$\begin{aligned} \Delta_x v_{i+1/2, j+1/2}^n &= v_{i+1, j+1/2}^n - v_{i, j+1/2}^n, \\ \Delta_x^2 v_{i+1/2, j+1/2}^n &= 0.5(v_{i+2, j+1/2}^n - v_{i+1, j+1/2}^n - v_{i, j+1/2}^n + v_{i-1, j+1/2}^n), \\ c_{i+1/2, j+1/2}^u &= \tau |u_{i+1/2, j+1/2}^n| / h_x. \end{aligned} \quad (3.23)$$

Если

$$(u \bullet \Delta_x v \bullet \Delta_x^2 v)_{i+1/2, j+1/2}^n \geq 0,$$

то используется схема МОР

$$\langle v_{i+1/2, j+1/2}^n \rangle = \begin{cases} 0.5(3 - c_{i+1/2, j+1/2}^u) v_{i, j+1/2}^n - 0.5(1 - c_{i+1/2, j+1/2}^u) v_{i-1, j+1/2}^n, & u_{i+1/2, j+1/2}^n \geq 0; \\ 0.5(3 - c_{i+1/2, j+1/2}^u) v_{i+1, j+1/2}^n - 0.5(1 - c_{i+1/2, j+1/2}^u) v_{i+2, j+1/2}^n, & u_{i+1/2, j+1/2}^n < 0. \end{cases} \quad (3.24)$$

В противном случае, если

$$(u \bullet \Delta_x v \bullet \Delta_x^2 v)_{i+1/2, j+1/2}^n < 0,$$

используется схема МЦР

$$\langle v_{i+1/2,j+1/2}^n \rangle = 0.5 \left(1 - \frac{\tau u_{i+1/2,j+1/2}^n}{h_x} \right) v_{i+1,j+1/2}^n + 0.5 \left(1 + \frac{\tau u_{i+1/2,j+1/2}^n}{h_x} \right) v_{i,j+1/2}^n. \quad (3.25)$$

Поток $DU1$ через левую сторону ячейки находится аналогично потоку $DU3$, но в уравнениях (3.22)–(3.25) необходимо индекс i уменьшить на единицу.

Для потоков DV (3.21) через горизонтальные стороны ячейки имеем

$$DV4 = v_{i,j+1}^n \bullet \langle v_{i,j+1}^n \rangle, \quad (3.26)$$

где

$$v_{i,j+1}^n = 0.5(v_{i,j+3/2}^n + v_{i,j+1/2}^n)$$

есть скорость переноса субстанции $\langle v_{i,j+1}^n \rangle$. Пусть

$$\begin{aligned} \Delta_y v_{i,j+1}^n &= v_{i,j+3/2}^n - v_{i,j+1/2}^n, \\ \Delta_y^2 v_{i,j+1}^n &= 0.5(v_{i,j+5/2}^n - v_{i,j+3/2}^n - v_{i,j+1/2}^n + v_{i,j-1/2}^n), \\ c_{i,j+1}^v &= \tau |v_{i,j+1}^n| / h_y. \end{aligned} \quad (3.27)$$

Если

$$(v \bullet \Delta_y v \bullet \Delta_y^2 v)_{i,j+1}^n \geq 0,$$

то используется схема МОР

$$\langle v_{i,j+1}^n \rangle = \begin{cases} 0.5(3 - c_{i,j+1}^v) v_{i,j+1/2}^n - 0.5(1 - c_{i,j+1}^v) v_{i,j-1/2}^n, & v_{i,j+1}^n \geq 0; \\ 0.5(3 - c_{i,j+1}^v) v_{i,j+3/2}^n - 0.5(1 - c_{i,j+1}^v) v_{i,j+5/2}^n, & v_{i,j+1}^n < 0. \end{cases} \quad (3.28)$$

В противном случае, если

$$(v \bullet \Delta_y v \bullet \Delta_y^2 v)_{i,j+1}^n < 0,$$

то используется схема МЦР

$$\langle v_{i,j+1}^n \rangle = 0.5 \left(1 - \frac{\tau v_{i,j+1}^n}{h_y} \right) v_{i,j+3/2}^n + 0.5 \left(1 + \frac{\tau v_{i,j+1}^n}{h_y} \right) v_{i,j+1/2}^n. \quad (3.29)$$

Поток $DV2$ через нижнюю сторону этой ячейки вычисляется аналогично потоку $DV4$, но в уравнениях (3.26)–(3.29) необходимо индекс j уменьшить на единицу.

Остальные производные, входящие в правую часть уравнения (3.6) и соответствующие вязким членам, аппроксимируются центральными разностями.

При вычислении возмущения солёности используется такой же подход. Для первых двух членов в правой части уравнения (3.9) имеем

$$\frac{u_{i+1/2,j}^{n+1} s_{i+1/2,j}^n - u_{i-1/2,j}^{n+1} s_{i-1/2,j}^n}{h_x} = \frac{DS3 - DS1}{h_x}, \quad (3.30)$$

$$\frac{v_{i,j+1/2}^{n+1} s_{i,j+1/2}^n - v_{i,j-1/2}^{n+1} s_{i,j-1/2}^n}{h_y} = \frac{DS4 - DS2}{h_y}. \quad (3.31)$$

Рассмотрим поток $DS3$ через правую сторону ячейки

$$DS3 = u_{i+1/2,j}^{n+1} \bullet \langle s_{i+1/2,j}^n \rangle, \quad (3.32)$$

где $u_{i+1/2,j}^{n+1}$ – скорость переноса субстанции $\langle s_{i+1/2,j}^n \rangle$. Пусть

$$\begin{aligned} \Delta_x s_{i+1/2,j}^n &= s_{i+1,j}^n - s_{i,j}^n, \\ \Delta_x^2 s_{i+1/2,j}^n &= \Delta_x s_{i+1,j}^n - \Delta_x s_{i,j}^n = 0.5(s_{i+2,j}^n - s_{i+1,j}^n - s_{i,j}^n + s_{i-1,j}^n), \end{aligned} \quad (3.33)$$

$$c_{i+1/2,j}^u = \tau |u_{i+1/2,j}^{n+1}| / h_x.$$

Тогда, если

$$(u \bullet \Delta_x s \bullet \Delta_x^2 s)_{i+1/2,j} \geq 0,$$

то используется модифицированная схема с ориентированными разностями – МОР

$$\langle s_{i+1/2,j}^n \rangle = \begin{cases} 0.5(3 - c_{i+1/2,j}^u) s_{i,j}^n - 0.5(1 - c_{i+1/2,j}^u) s_{i-1,j}^n, & u_{i+1/2,j}^{n+1} \geq 0; \\ 0.5(3 - c_{i+1/2,j}^u) s_{i+1,j}^n - 0.5(1 - c_{i+1/2,j}^u) s_{i+2,j}^n, & u_{i+1/2,j}^{n+1} < 0. \end{cases} \quad (3.34)$$

В противном случае, если

$$(u \bullet \Delta_x s \bullet \Delta_x^2 s)_{i+1/2,j} < 0,$$

используется модифицированная схема с центральными разностями – МЦР

$$\langle s_{i+1/2,j} \rangle = 0.5 \left(1 - \frac{\tau u_{i+1/2,j}^{n+1}}{h_x} \right) s_{i+1,j}^n + 0.5 \left(1 + \frac{\tau u_{i+1/2,j}^{n+1}}{h_x} \right) s_{i,j}^n. \quad (3.35)$$

Поток $DS1 = u_{i-1/2,j}^{n+1} \bullet \langle s_{i-1/2,j}^n \rangle$ через левую сторону ячейки вычисляется аналогично потоку $DS3$, но везде в уравнениях (3.32)–(3.35) необходимо индекс i уменьшить на единицу.

Для потоков DS (3.31) в уравнении (3.9) через горизонтальные стороны ячейки имеем

$$DS4 = v_{i,j+1/2}^{n+1} \bullet \langle s_{i,j+1/2}^n \rangle. \quad (3.36)$$

С учетом обозначений

$$\begin{aligned} \Delta_y s_{i,j+1/2}^n &= s_{i,j+1}^n - s_{i,j}^n, \\ \Delta_y^2 s_{i,j+1/2}^n &= 0.5(s_{i,j+2}^n - s_{i,j+1}^n - s_{i,j}^n + s_{i,j-1}^n), \\ c_{i,j+1/2}^v &= \tau |v_{i,j+1/2}^{n+1}| / h_y. \end{aligned} \quad (3.37)$$

Если

$$(v \bullet \Delta_y s \bullet \Delta_y^2 s)_{i,j+1/2} \geq 0,$$

используется схема МОР

$$\langle s_{i,j+1/2}^n \rangle = \begin{cases} 0.5(3 - c_{i,j+1/2}^v) s_{i,j}^n - 0.5(1 - c_{i,j+1/2}^v) s_{i,j-1}^n, & v_{i,j+1/2}^{n+1} \geq 0; \\ 0.5(3 - c_{i,j+1/2}^v) s_{i,j+1}^n - 0.5(1 - c_{i,j+1/2}^v) s_{i,j+2}^n, & v_{i,j+1/2}^{n+1} < 0. \end{cases} \quad (3.38)$$

В противном случае, если

$$(v \bullet \Delta_y s \bullet \Delta_y^2 s)_{i,j+1/2} < 0,$$

используется схема МЦР

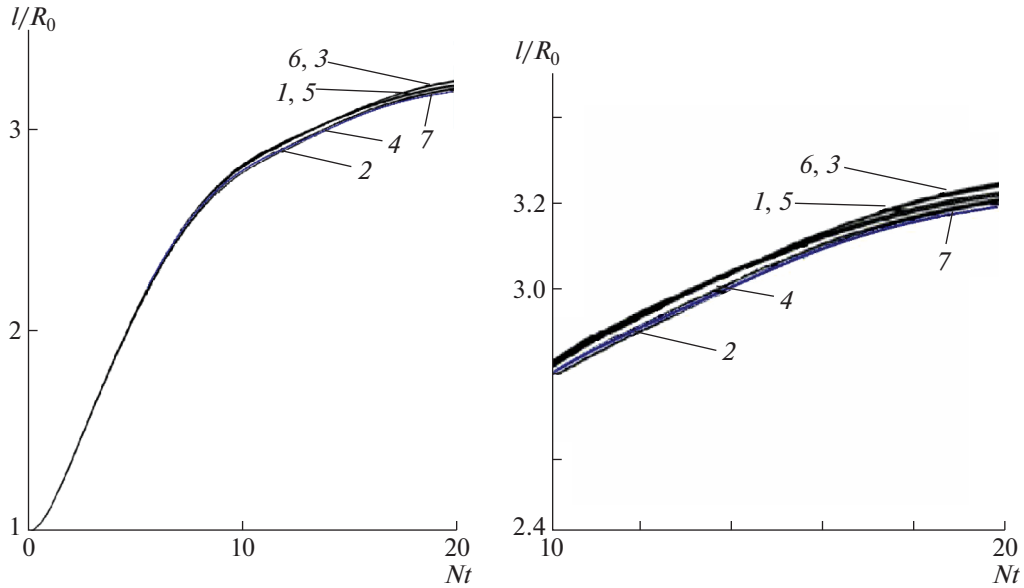
$$\langle s_{i,j+1/2}^n \rangle = 0.5 \left(1 - \frac{\tau v_{i,j+1/2}^{n+1}}{h_y} \right) s_{i,j+1}^n + 0.5 \left(1 + \frac{\tau v_{i,j+1/2}^{n+1}}{h_y} \right) s_{i,j}^n. \quad (3.39)$$

Поток $DS2 = v_{i,j-1/2}^{n+1} \bullet \langle s_{i,j-1/2}^n \rangle$ через нижнюю сторону ячейки вычисляется аналогично потоку $DS4$, но в уравнениях (3.36)–(3.39) необходимо индекс j уменьшить на единицу.

Легко видеть [19], что конечно-разностная схема аппроксимирует систему уравнений (2.7) с погрешностью порядка $O(\tau, \Delta^2)$, где $\Delta = \max(h_x, h_y)$.

Аппроксимация начальных условий (2.8)–(2.10) и условий симметрии (2.11) не представляет труда.

Процедура расчета. Сначала в исследуемой области течения задается начальное приближение, удовлетворяющее граничным условиям. Далее, по формулам (3.5), (3.6) находится промежуточное поле скорости \tilde{v} . Затем из (3.7) рассчитывается поле давления. Для решения этого уравнения нами использовался метод верхней релаксации. Актуальное поле скорости находится из уравне-



Фиг. 3. Зависимость от времени положения правой точки пятна.

ний (3.8), а поле изменения солености — из уравнения (3.9). Далее вычислительный цикл повторяется до некоторого заданного момента времени либо до выполнения некоторого критерия установления (если существует стационарное решение), например,

$$\max_{(i,j)} |f_{i,j}^{n+1} - f_{i,j}^n| < \varepsilon_2, \quad \text{где } f = (u, v, p, s).$$

4. РЕЗУЛЬТАТЫ ЧИСЛЕННЫХ ЭКСПЕРИМЕНТОВ

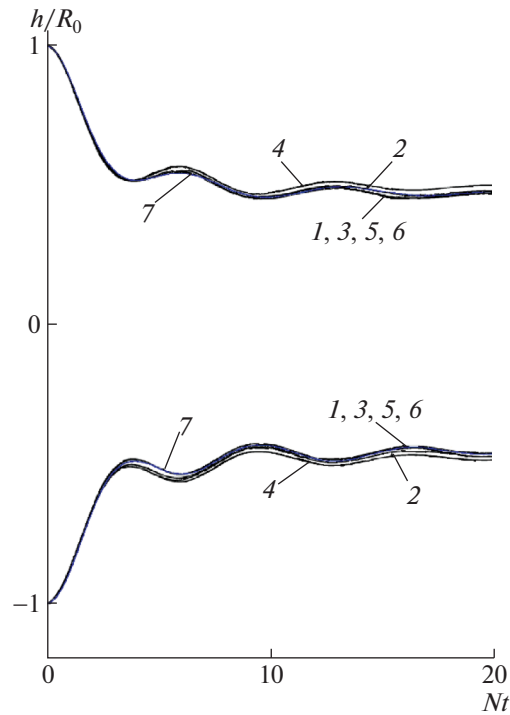
Пусть радиус пятна $R_0 = 1$. Расчеты выполнены в области с размерами $X = 15$, $Y = 5$ при следующих значениях коэффициентов и параметров: $\mu/\rho_0 = 0.01 \text{ см}^2/\text{с}$, $k_s = 1.41 \times 10^{-5} \text{ см}^2/\text{с}$, $N = 1 \text{ с}^{-1}$, $T_b = 2\pi/Ns$, $\Lambda = 10 \text{ см}$, $C = 10$, $\text{Re} = 100$, $\text{Fr} = 0.1$, $\text{Sc} = 709.2$, что близко к лабораторным экспериментальным условиям. В качестве граничных условий на верхней, нижней и правой границах расчетной области, предполагая, что они достаточно удалены от пятна, выбрано состояние покоя, т.е. $u = v = s = 0$. Расчетная область была покрыта равномерной сеткой с шагами в обоих направлениях $h_x = h_y = 0.1$.

Тестирование программы. С целью проверки правильности работы программы были выполнены расчеты в отсутствие пятна и на различных сетках до $t = 100$. Характерные точки пятна (верхняя, нижняя и правая) оставались на месте, давление сохранялось постоянным, дивергенция скорости была на уровне 10^{-3} . Тем самым результаты этих расчетов подтвердили выполнение законов сохранения с требуемой точностью.

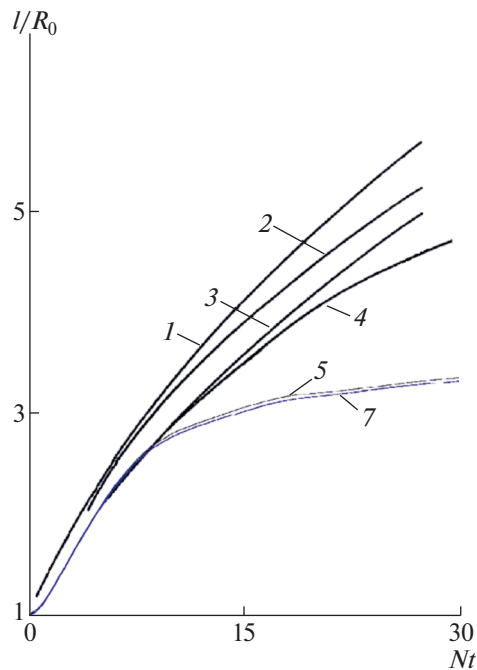
Методические расчеты. С целью исследования влияния размеров пространственной и временной сеток на результаты расчетов были проведены вычисления при следующих параметрах: **1** — 300×100 , $h_x = 0.05$, $h_y = 0.1$, $\tau = 0.005$; **2** — 150×200 , $h_x = 0.1$, $h_y = 0.05$, $\tau = 0.005$; **3** — 300×200 , $h_x = 0.05$, $h_y = 0.05$, $\tau = 0.005$; **4** — 600×100 , $h_x = 0.025$, $h_y = 0.1$, $\tau = 0.0025$; **5** — 150×400 , $h_x = 0.1$, $h_y = 0.025$, $\tau = 0.0025$; **6** — 600×400 , $h_x = 0.025$, $h_y = 0.025$, $\tau = 0.0025$.

На фиг. 3 показана зависимость от времени положения правой точки пятна. Кривые отмечены цифрами, соответствующими различным сеткам, упомянутым выше. Здесь же нанесена кривая 7, соответствующая следующим параметрам: $X = 30$, $Y = 10$ (т.е. размеры расчетной области по каждой координате увеличены в два раза с целью проверки влияния степени удаленности внешних границ на результаты расчетов), 300×200 , $h_x = 0.1$, $h_y = 0.1$, $\tau = 0.01$.

На фиг. 4 приведены зависимости от времени положения верхней и нижней точек пятна. Обозначения такие же, как и на фиг. 3. Как видно из фиг. 3 и фиг. 4, результаты практически не зависят от величины сеточных параметров и размеров области в указанном диапазоне. Это под-

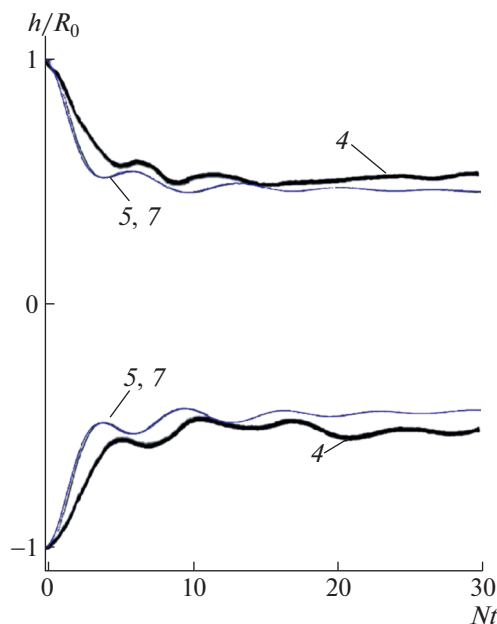


Фиг. 4. Зависимости от времени положения верхней и нижней точек пятна.



Фиг. 5. Сравнения динамики горизонтального размера пятна с аналитическими оценками [6] – кривая 1, экспериментальными данными [9] – кривая 2 и расчетами других авторов [12], [14] – кривые 3 и 4 соответственно. Результаты данной работы: кривая 5 – для $X = 15$, $Y = 5$; 150×100 , $h_x = 0.1$, $h_y = 0.1$; кривая 7 – $X = 30$, $Y = 10$, 300×200 , $h_x = 0.1$, $h_y = 0.1$.

тверждает возможность проведения дальнейших расчетов при следующих параметрах: $X = 15$, $Y = 5$, 150×100 , $h_x = 0.1$, $h_y = 0.1$, $\tau = 0.01$. Здесь следует также отметить, что изменение линейных размеров пятна со временем происходит не монотонно (фиг. 4). Это связано с генерацией и ди-



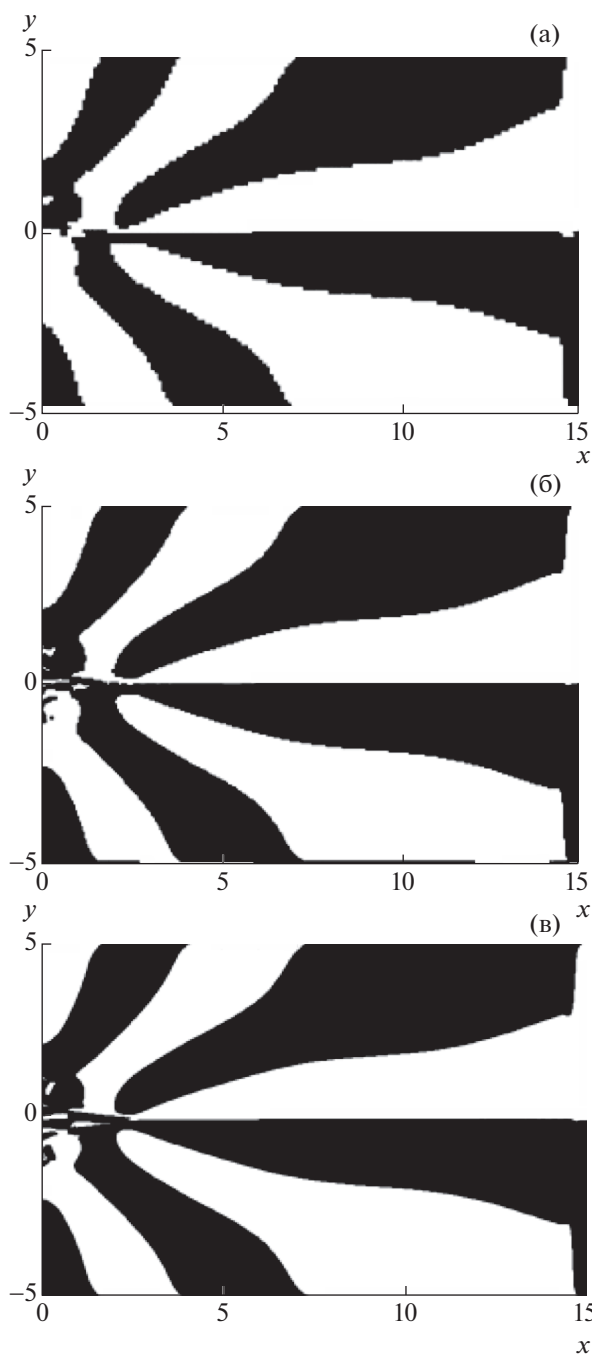
Фиг. 6. Результаты сравнения динамики вертикального размера пятна. Кривая 4 из [14]. Результаты данной работы: кривые 5 – для $X = 15$, $Y = 5$; 150×100 , $h_x = 0.1$, $h_y = 0.1$; кривые 7 – для $X = 30$, $Y = 10$; 300×200 , $h_x = 0.1$, $h_y = 0.1$.

намикой внутренних волн в процессе коллапса пятна и впервые было обнаружено в нашей работе [14] и показано в фильме на конференции в сентябре 1980 г. по случаю 25-летия ВЦ АН СССР.

На фиг. 5 приведены результаты сравнения динамики горизонтальных размеров пятна с аналитическими оценками [6] – кривая 1, экспериментальными данными [9] – кривая 2 и расчетами других авторов [12], [14] – кривые 3 и 4 соответственно. Кривые 5 и 7 представляют результаты данной работы при следующих значениях параметров: кривая 5 – для $X = 15$, $Y = 5$; 150×100 , $h_x = 0.1$, $h_y = 0.1$; кривая 7 – для $X = 30$, $Y = 10$; 300×200 , $h_x = 0.1$, $h_y = 0.1$. Различия, наблюдаемые между кривыми на фиг. 5, можно объяснить следующим образом. Все аналитические оценки горизонтальных размеров пятна [6], [7] получены в предположении идеальности жидкости, то есть при отсутствии вязкости, а следовательно, горизонтальный размер пятна будет увеличиваться со временем быстрее, чем в экспериментах и численных расчетах. В экспериментах [8]–[10] числа Рейнольдса были существенно больше, чем в численных расчетах, а следовательно, опять горизонтальный размер пятна будет увеличиваться со временем быстрее, чем в численных расчетах. Расчеты в работах [12], [14] выполнены с использованием одинаковых моделей – уравнения Навье–Стокса в приближении Буссинеска, однако в этих моделях не учитывалась диффузия стратифицирующего компонента, что при прочих одинаковых условиях также приводит к более высоким скоростям увеличения горизонтального размера пятна. В работе [14] было также показано, что с увеличением числа Рейнольдса горизонтальный размер пятна будет увеличиваться со временем быстрее.

На фиг. 6 приведены результаты сравнения динамики вертикальных размеров пятна с расчетами [14] – кривая 4. Кривые 5 и 7 представляют результаты данной работы при следующих значениях параметров: кривая 5 – для $X = 15$, $Y = 5$; 150×100 , $h_x = 0.1$, $h_y = 0.1$; кривая 7 – для $X = 30$, $Y = 10$; 300×200 , $h_x = 0.1$, $h_y = 0.1$.

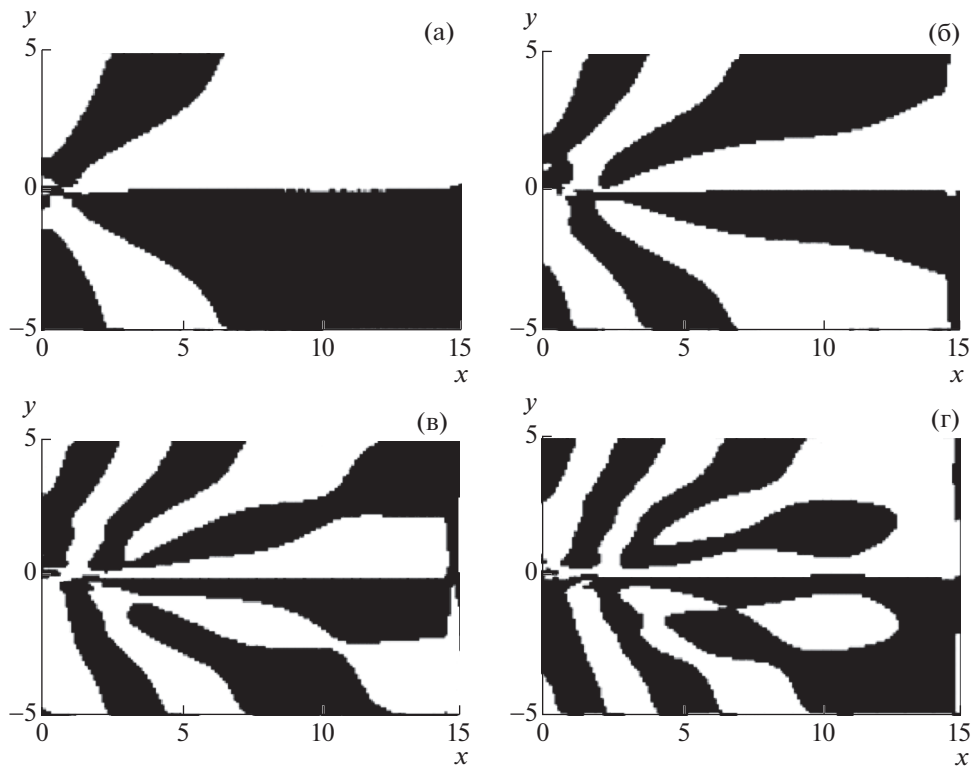
На фиг. 7–10 приведены поля изменения возмущения солёности ds/dx . Белый цвет соответствует положительным значениям производной, а черный – отрицательным значениям. Границы раздела между черным и белым цветами полей при заданном уровне u соответствуют значениям $ds/dx = 0$, то есть минимумам и максимумам функции s или гребням и впадинам внутренних волн. Фактически это линии равной фазы. Из фиг. 7–10 также видно, что со временем линии равной фазы смещаются слева направо, а их наклон по отношению к горизонту уменьшается, что соответствует результатам работ [9], [14]. Здесь мы остановимся в основном на результатах методических расчетов.



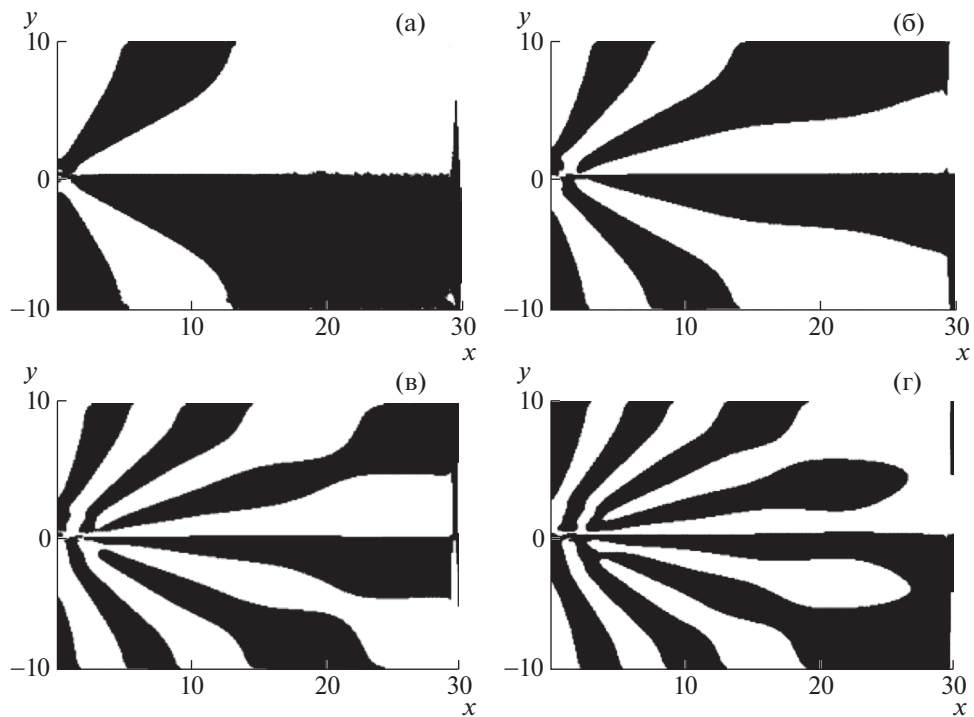
Фиг. 7. Поле изменения возмущения солёности ds/dx . Область $X=15$, $Y=5$, $t=10$; (а) 150×100 , $h_x=0.1$, $h_y=0.1$, $\tau=0.01$; (б) 300×200 , $h_x=0.05$, $h_y=0.05$, $\tau=0.005$; (в) 600×400 , $h_x=0.025$, $h_y=0.025$, $\tau=0.0025$.

На фиг. 7 представлено поле изменения возмущения солёности ds/dx при следующих значениях параметров. Область $X=15$, $Y=5$, $t=10$; (а) 150×100 , $h_x=0.1$, $h_y=0.1$, $\tau=0.01$; (б) 300×200 , $h_x=0.05$, $h_y=0.05$, $\tau=0.005$; (в) 600×400 , $h_x=0.025$, $h_y=0.025$, $\tau=0.0025$. Как видно, результаты для различных размеров пространственной сетки достаточно хорошо согласуются между собой.

На фиг. 8 показано изменение во времени поля изменения возмущения солёности ds/dx . Область $X=15$, $Y=5$; 150×100 , $h_x=0.1$, $h_y=0.1$, $\tau=0.01$; (а) $t=4$; (б) $t=10$; (в) $t=16$; (г) $t=20$. Видно, что со временем линии равной фазы смещаются слева направо, а их наклон по отношению к горизонту уменьшается, что соответствует результатам работ [9], [14].

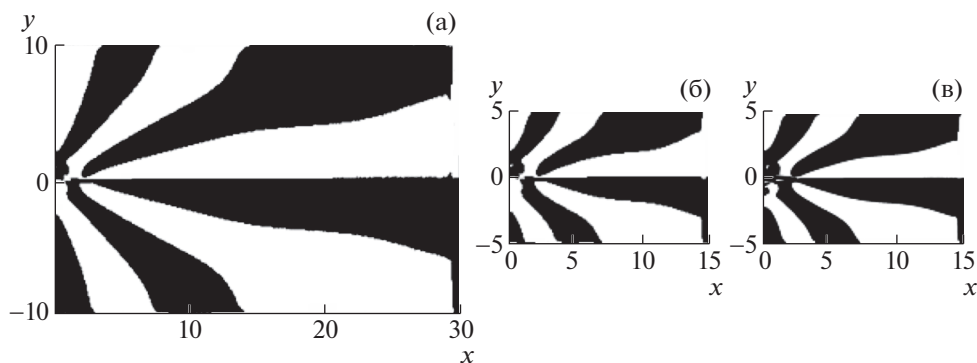


Фиг. 8. Поле изменения возмущения солёности ds/dx . Область $X=15, Y=5$; (а) $t=4$; (б) $t=10$; (в) $t=16$; (г) $t=20$.



Фиг. 9. Поле изменения возмущения солёности ds/dx . Область $X=30, Y=10$; (а) $t=4$; (б) $t=10$; (в) $t=16$; (г) $t=20$.

На фиг. 9 приведено поле изменения возмущения солёности ds/dx для области с размерами $X=30, Y=10$; (а) $t=4$; (б) $t=10$; (в) $t=16$; (г) $t=20$. Из сравнения фиг. 8 и фиг. 9 можно сделать вывод, что для анализа волновой картины целесообразно либо увеличивать размеры расчетной



Фиг. 10. Поле изменения возмущения солености ds/dx . $t = 10$; (а) область $X = 30$, $Y = 10$; 300×200 , $h_x = 0.1$, $h_y = 0.1$, $\tau = 0.01$; (б) область $X = 15$, $Y = 5$; 150×100 , $h_x = 0.1$, $h_y = 0.1$, $\tau = 0.01$; (в) область $X = 15$, $Y = 5$; 600×400 , $h_x = 0.025$, $h_y = 0.025$, $\tau = 0.0025$.

области, либо изменять форму граничных условий на внешних границах. Хотя для небольших времен ($t < 2T_b$) области с размерами $X = 15$, $Y = 5$ вполне достаточно, что видно из сравнения результатов, приведенных на фиг. 10 для поля изменения возмущения солености ds/dx при $t = 10$; (а) область $X = 30$, $Y = 10$; 300×200 , $h_x = 0.1$, $h_y = 0.1$, $\tau = 0.01$; (б) область $X = 15$, $Y = 5$; 150×100 , $h_x = 0.1$, $h_y = 0.1$, $\tau = 0.01$; (в) область $X = 15$, $Y = 5$; 600×400 , $h_x = 0.025$, $h_y = 0.025$, $\tau = 0.0025$. Путем прямого наложения можно видеть, что результаты практически совпадают.

5. ЗАКЛЮЧЕНИЕ

В работе обсуждается задача о динамике (коллапсе) пятен перемешанной жидкости в стратифицированной среде. В качестве стратифицирующей компоненты выбрана соленость. Эта задача описывается уравнениями Навье—Стокса в приближении Буссинеска с соответствующими граничными и начальными условиями. Для решения поставленной задачи используется одна из последних версий разработанного авторами метода расщепления по физическим факторам. Конечно-разностная схема метода обладает такими свойствами, как высокий порядок аппроксимации, минимальная схемная вязкость и дисперсия, и что особенно важно при решении задач с большими градиентами гидрофизических параметров, задач со свободной поверхностью и внутренними волнами, свойством монотонности. Приведена конечно-разностная схема.

С целью проверки правильности работы программы были выполнены расчеты в отсутствие пятна и на различных сетках до $t = 100$. Характерные точки пятна (верхняя, нижняя и правая) оставались на месте, давление сохранялось постоянным, дивергенция скорости была на уровне 10^{-3} . Тем самым результаты этих расчетов подтвердили выполнение законов сохранения с требуемой точностью.

Проведены многочисленные тестовые и методические расчеты по изучению влияния сеточных параметров на результаты. Приведены результаты сравнения с аналитическими оценками, экспериментальными данными и расчетами других авторов. Совпадение результатов достаточно хорошее, что подтверждает возможность использования данной модели при исследовании подобных задач. Проведенные расчеты показали, что развитие пятна происходит несимметрично относительно горизонтальной оси, а изменение вертикального размера пятна немонотонно со временем и носит квазипериодический характер. Метод также может быть использован для расчета течений жидкости, стратификация которой отлична от линейной.

В качестве примера показана динамика возмущения солености, что соответствует линиям равной фазы, характеризующих поведение внутренних волн в процессе коллапса пятен.

СПИСОК ЛИТЕРАТУРЫ

1. Филлипс О.М. Атмосферная турбулентность и распространение радиоволн. М.: Наука, 1967. С. 130–138.
2. Федоров К.Н. Тонкая термохалинная структура вод океана. Л.: Гидрометеоиздат, 1976. 184 с.
3. Тернер Дж. Эффекты плавучести в жидкостях. М.: Мир, 1977. 432 с.

4. *Скорер Р.* Аэрогидродинамика окружающей среды. М.: Мир, 1980. 551 с.
5. *Монин А.С., Озмидов Р.В.* Океанская турбулентность. Л.: Гидрометеоздат, 1981. 320 с.
6. *Kao T.W.* Principal stage of wake collapse in a stratified fluid. Two-dimensional theory // *Phys. Fluids*. 1976. V. 19. № 8. P. 1071–1074.
7. *Баренблатт Г.И.* Динамика турбулентных пятен и интрузии в устойчиво-стратифицированной жидкости // *Изв. АН СССР. Физика атмосферы и океана*. 1978. Т. 14. № 2. С. 195–205.
8. *Schooley A.H., Stewart R.W.* Experiments with a self-propelled body submerged in a fluid with a vertical density gradient // *J. Fluid Mech*. 1963. V. 15. 83.
9. *Wu J.* Mixed region collapse with internal wave generation in a density-stratified medium // *J. Fluid Mech*. 1969. V. 35. № 3. P. 531–544.
10. *Зацепин А.Г., Федоров К.Н., Воропаев С.И., Павлов А.М.* Экспериментальное исследование растекания перемешанного пятна в стратифицированной жидкости // *Изв. АН СССР. Физика атмосферы и океана*. 1978. Т. 14. № 2. С. 234–237.
11. *Кузнецов Б.Г., Черных Г.Г.* Численное исследование поведения однородного “пятна” в идеальной стратифицированной по плотности жидкости // *Ж. прикл. механ. и теор. физ.* 1973. № 3. С. 120–126.
12. *Wessel W.R.* Numerical study of the collapse of a perturbation in an infinite density stratified fluid // *Phys. Fluids*. 1969. V. 12. № 12. P. 170–176.
13. *Joung J.A., Hirt C.W.* Numerical calculation of internal wave motions // *J. Fluid Mech*. 1972. V. 56. № 2. P. 265–276.
14. *Гущин В.А.* Метод расщепления для задач динамики неоднородной вязкой несжимаемой жидкости // *Ж. вычисл. матем. и матем. физ.* 1981. Т. 21. № 4. С. 1003–1017.
15. *Гущин В.А., Копысов А.Н.* Динамика сферической зоны смешения в стратифицированной жидкости и ее акустическое излучение // *Ж. вычисл. матем. и матем. физ.* 1991. Т. 31. № 6. С. 850–863.
16. *Гущин В.А., Миткин В.В., Рождественская Т.И., Чашечкин Ю.Д.* Численное и экспериментальное исследование тонкой структуры течения стратифицированной жидкости вблизи кругового цилиндра // *Ж. прикл. механ. и техн. физ.* 2007. Т. 48. № 1. С. 43–54.
17. *Гущин В.А., Матюшин П.В.* Моделирование и исследование течений стратифицированной жидкости около тел конечных размеров // *Ж. вычисл. матем. и матем. физ.* 2016. Т. 56. № 6. С. 1049–1063.
18. *Белоцерковский О.М., Гущин В.А., Коньшин В.Н.* Метод расщепления для исследования течений стратифицированной жидкости со свободной поверхностью // *Ж. вычисл. матем. и матем. физ.* 1987. Т. 27. № 4. С. 594–609.
19. *Гущин В.А.* Об одном семействе квазимонотонных разностных схем второго порядка аппроксимации // *Матем. моделирование*. 2016. Т. 28. № 2. С. 6–18.